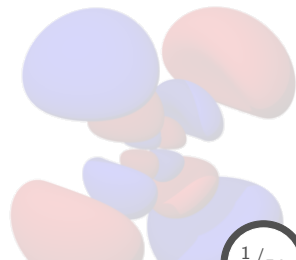


1. Superconductividad



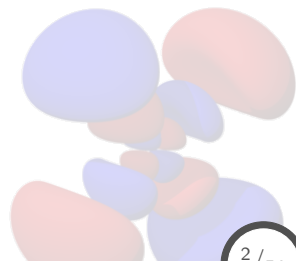
Contenido: Tema 06

1. Superconductividad

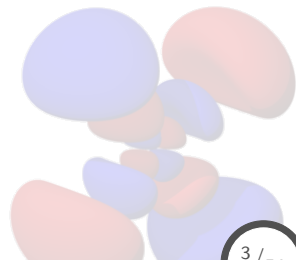
1.1 Propiedades fundamentales y descripción fenomenológica

1.2 Tunelamiento, efecto Josephson

1.3 Clasificación de materiales superconductores



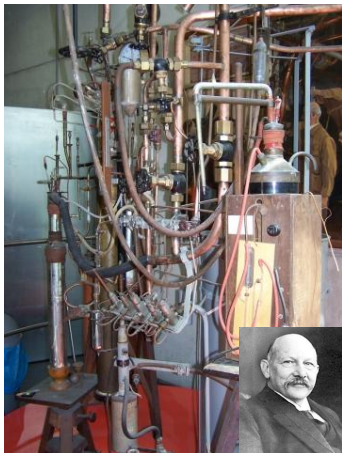
1. Superconductividad
 - 1.1 Propiedades fundamentales y descripción fenomenológica
 - 1.2 Tunelamiento, efecto Josephson
 - 1.3 Clasificación de materiales superconductores



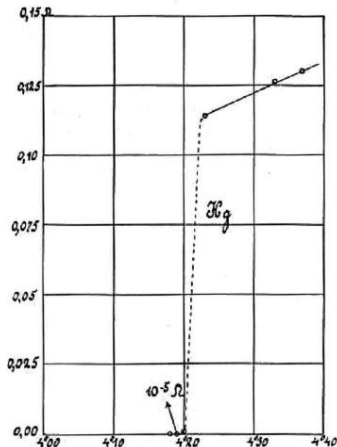
Propiedades fundamentales y descripción fenomenológica

Descubrimiento

Licuefacción del Helio (1908)



Hg: R vs T (1911)

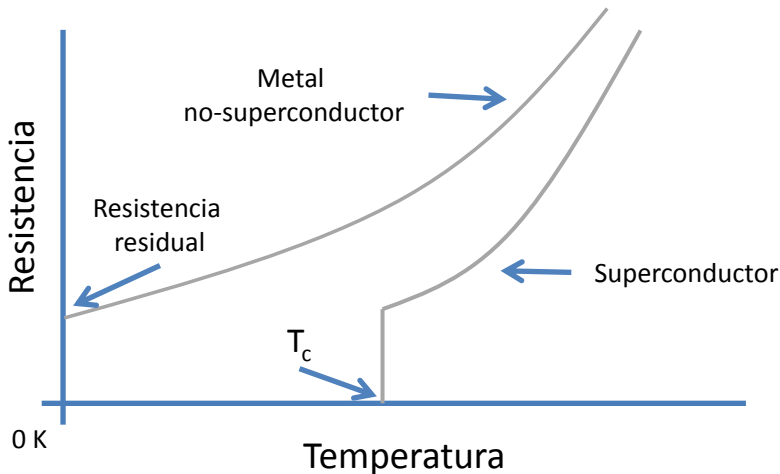


H. Kamerlingh Onnes: Nobel en Física 1913 por los estudios de la materia a bajas temperaturas, producción de He líquido (3K).

Propiedades fundamentales y descripción fenomenológica

Fenómenos relacionados

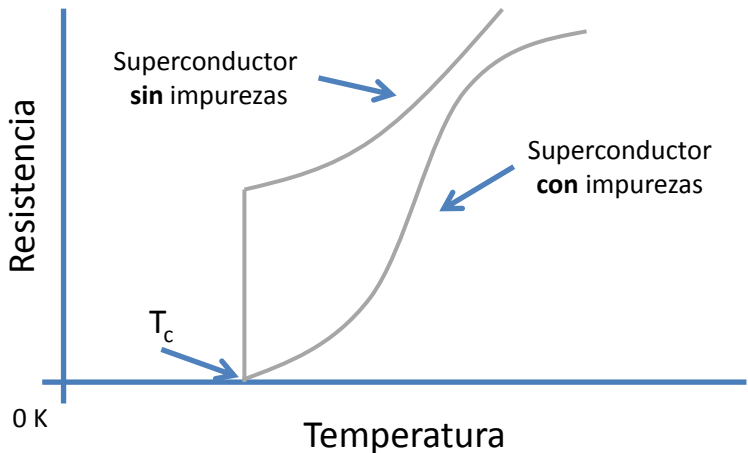
Resistencia cero y temperatura crítica (T_c)



Propiedades fundamentales y descripción fenomenológica

Fenómenos relacionados

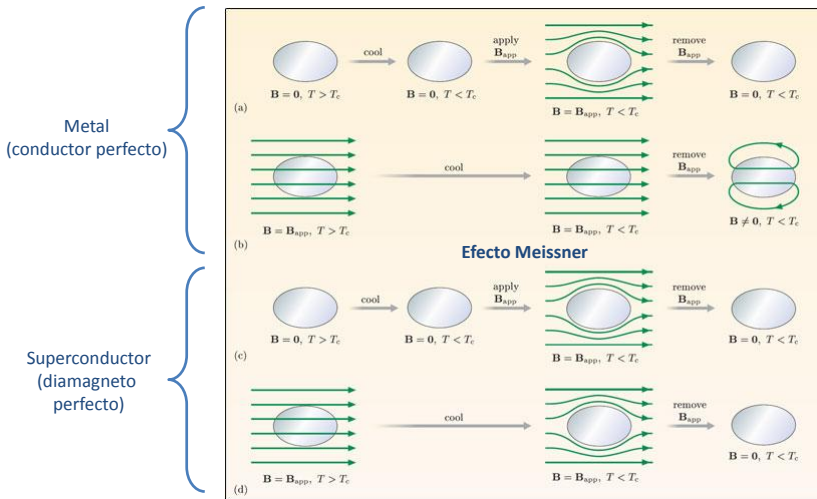
Resistencia cero y temperatura crítica (T_c)



Propiedades fundamentales y descripción fenomenológica

Fenómenos relacionados

Diamagnetismo perfecto: efecto Meissner

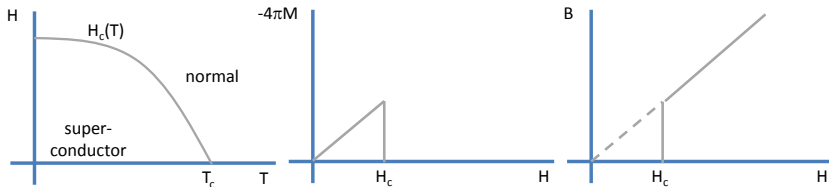


Propiedades fundamentales y descripción fenomenológica

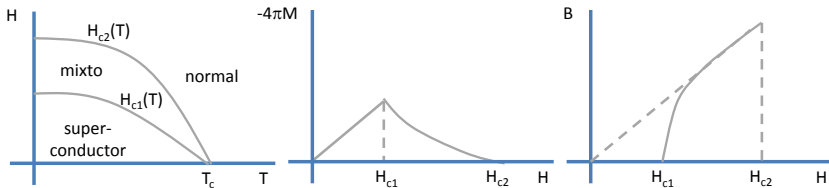
Fenómenos relacionados

Campo crítico: superconductores tipo I y tipo II

Superconductor tipo I



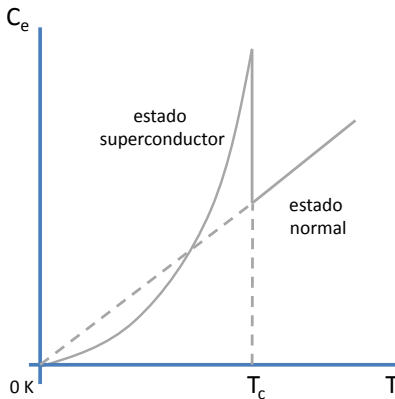
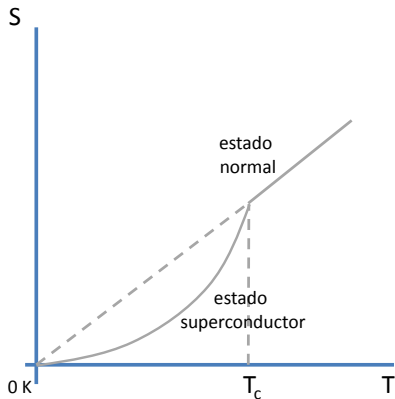
Superconductor tipo II



Propiedades fundamentales y descripción fenomenológica

Fenómenos relacionados

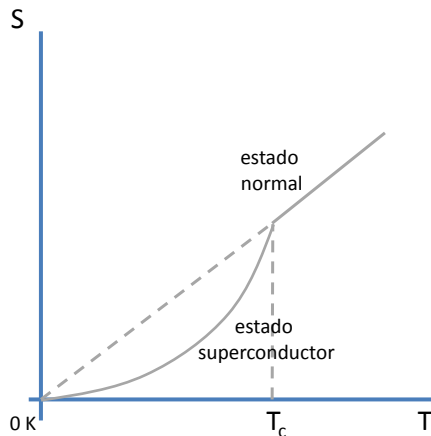
Propiedades termodinámicas: entropía y calor específico



Propiedades fundamentales y descripción fenomenológica

Fenómenos relacionados

Propiedades termodinámicas: entropía



La diferencia de entropía en $T < T_c$ es:

$$S_n - S_{sc} = -\mu_0 H_c \frac{dH_c}{dT},$$

pero de H_c vs T se tiene que:

$$\frac{dH_c}{dT} < 0 \quad \forall T < T_c,$$

por lo que,

$$S_n - S_{sc} > 0.$$

Propiedades fundamentales y descripción fenomenológica

Fenómenos relacionados

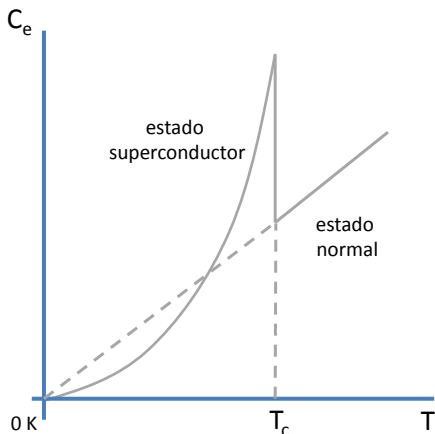
Propiedades termodinámicas: calor específico

La diferencia de calor específico en $T < T_c$ es:

$$C_{sc} - C_n = \mu_0 T \left[H_c \frac{d^2 H_c}{dT^2} + \dots \right. \\ \left. \dots + \left(\frac{dH_c}{dT} \right)^2 \right],$$

pero se tiene que:

$$\frac{d^2 H_c}{dT^2} < 0 \quad \& \quad \left(\frac{dH_c}{dT} \right)^2 > 0,$$



lo cual indica que habrá un sutil balance entre el campo aplicado y su derivada, existiendo un T tal que $C_{sc} - C_n$ cambie de signo.

Propiedades fundamentales y descripción fenomenológica

Descripción fenomenológica: teoría de London

El primer intento por describir de manera teórica la electrodinámica de un superconductor (efecto Meissner) fue realizado por los hermanos **London**.

Modelo de dos fluidos

En el estado superconductor se tendrá lo siguiente:

n : densidad total de electrones de conducción,

$n_s(T)$: densidad de electrones superconductores,

en donde, por supuesto, $n - n_s(T) > 0$.

Teoría de London

$$\begin{array}{l} n_s(T) \rightarrow R = 0 \quad \hat{\mathbf{E}}_{ap} \quad n_s(T) \rightarrow \text{afectados} \\ n - n_s(T) \rightarrow R = \text{normal} \quad \Rightarrow \quad n - n_s(T) \rightarrow \text{estacionarios} \end{array}$$

En donde se considera que: $n_s \neq n_s(\mathbf{r})$, es decir, es una teoría **local**, lo que se conoce como el **límite de London**.

Propiedades fundamentales y descripción fenomenológica

Descripción fenomenológica: ecuaciones de London

La ecuación de movimiento para los electrones en el estado superconductor es,

$$m \frac{d\mathbf{v}_s}{dt} = e\mathbf{E},$$

en donde la densidad de corriente superconductor se expresa como,

$$\mathbf{J}_s = n_s e \mathbf{v}_s,$$

relacionando las ecs. anteriores,

$$\mathbf{E} = \Lambda \frac{\partial \mathbf{J}_s}{\partial t}, \quad \forall \quad \Lambda = \frac{m}{n_s e^2},$$

lo cual se conoce como **primera ecuación de London**.

Relacionando la 1ª ec. de London con la ec. de Faraday,

$$\begin{aligned} \nabla \times \mathbf{E} &= -\frac{\partial \mathbf{B}}{\partial t}, \\ \nabla \times \left(\Lambda \frac{\partial \mathbf{J}_s}{\partial t} \right) &= -\frac{\partial \mathbf{B}}{\partial t}, \\ \frac{\partial}{\partial t} [\nabla \times (\Lambda \mathbf{J}_s)] &= -\frac{\partial \mathbf{B}}{\partial t}, \\ \Rightarrow \nabla \times (\Lambda \mathbf{J}_s) &= -\mathbf{B}, \end{aligned}$$

lo cual representa una expresión alterna para la 1ª ecuación de London.

Propiedades fundamentales y descripción fenomenológica

Descripción fenomenológica: ecuaciones de London

Si tomamos la ley de Ampère para campos pseudo-estacionarios,

$$\begin{aligned}\nabla \times \mathbf{B} &= \mu_0 \mathbf{J} \quad \forall \quad \frac{\partial \mathbf{E}}{\partial t} = 0, \\ \Rightarrow \nabla \times (\nabla \times \mathbf{B}) &= \mu_0 \nabla \times \mathbf{J}_s \\ \text{pero } \Lambda \nabla \times \mathbf{J}_s &= -\mathbf{B}, \quad (1^a \text{ ec. de London}) \\ \Rightarrow \nabla \times (\nabla \times \mathbf{B}) &= -\frac{\mu_0}{\Lambda} \mathbf{B}.\end{aligned}$$

Ahora, haciendo uso de la siguiente propiedad para un campo vectorial,

$$\nabla \times (\nabla \times \mathbf{B}) = \nabla (\nabla \cdot \mathbf{B}) - \nabla^2 \mathbf{B},$$

donde: $\nabla \cdot \mathbf{B} = -\Lambda \nabla \cdot [\nabla \times \mathbf{J}_s] = 0 \quad \therefore \nabla \times (\nabla \times \mathbf{B}) = -\nabla^2 \mathbf{B}.$

Relacionando ambos res. se obtiene la **2^a ecuación de London**,

$$\nabla^2 \mathbf{B} = \frac{1}{\lambda_L^2} \mathbf{B} \quad \forall \quad \lambda_L^2 = \frac{\Lambda}{\mu_0} = \frac{m}{n_s e^2 \mu_0} \quad \leftarrow \text{ long. de penetración,}$$

soluciones: $\mathbf{B} = \mathbf{B}_0 e^{-\hat{\mathbf{n}} \cdot \mathbf{r} / \lambda_L} \quad \forall \quad |\hat{\mathbf{n}}| = 1 \quad \& \quad \hat{\mathbf{n}} \cdot \mathbf{B}_0 = 0.$

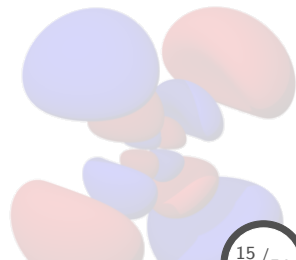
Contenido: Tema 06

1. Superconductividad

1.1 Propiedades fundamentales y descripción fenomenológica

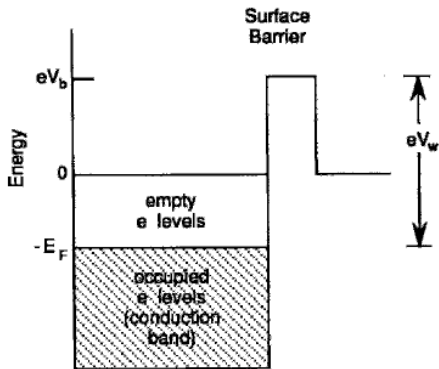
1.2 Tunelamiento, efecto Josephson

1.3 Clasificación de materiales superconductores



Tunelamiento, efecto Josephson

Fenómeno de tunelamiento



- V_b : barrera de potencial creada por la superficie,
- $-E_F$: energía máx. de los e^- en un metal,
- V_w : potencial de la función de trabajo, energía necesaria para remover un e^- del metal,

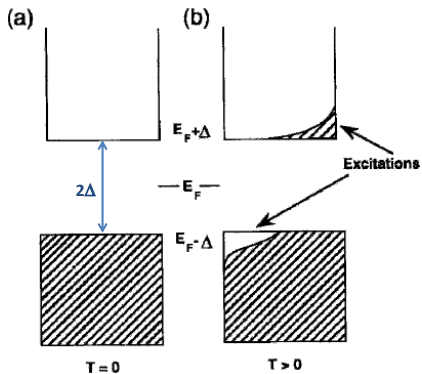
por tanto, tenemos:

$$eV_w = eV_b + |E_F|.$$

Tunelamiento, efecto Josephson

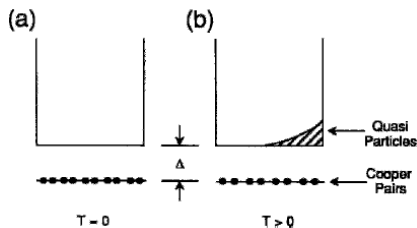
Fenómeno de tunelamiento: esquemas de niveles de energía

Representación de semiconductores (S)



(S) no toma en cuenta el fenómeno de apareamiento de electrones.

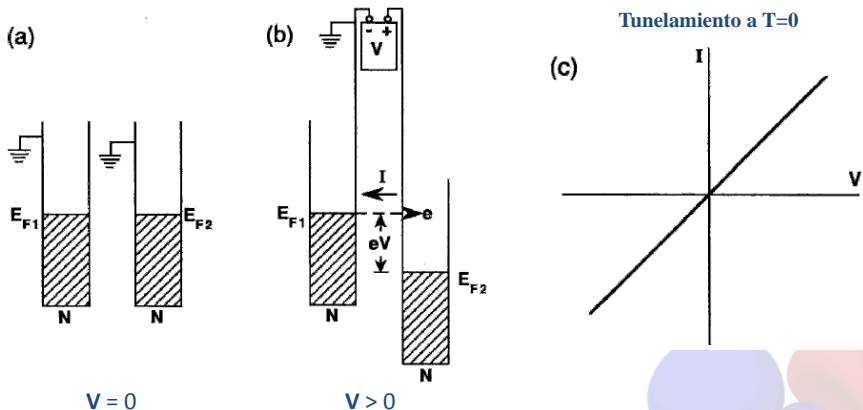
Representación de condensado de Bose (CB)



(CB) toma en cuenta la energía de enlace E_g compartida por dos electrones, $\Delta = E_g/2$.

Tunelamiento, efecto Josephson

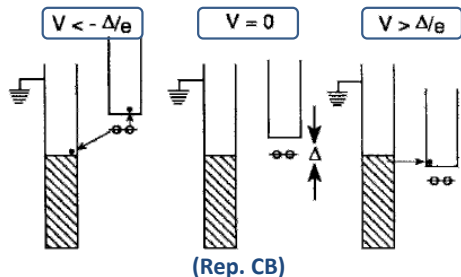
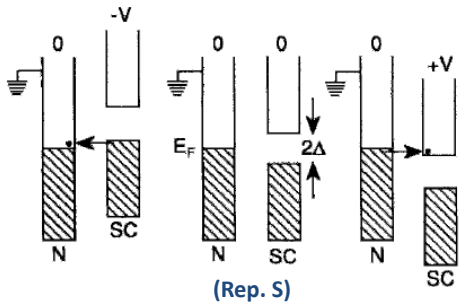
Procesos de tunelamiento: Metal normal–Metal normal (N–I–N)



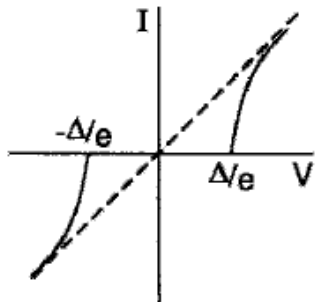
- La **corriente** I fluye en dirección del metal con potencial **negativo**.
- Los electrones de **tunelamiento** fluyen en dirección del metal con potencial **positivo**.

Tunelamiento, efecto Josephson

Procesos de tunelamiento: Metal normal–Superconductor (N–I–SC)



Tunelamiento a T=0

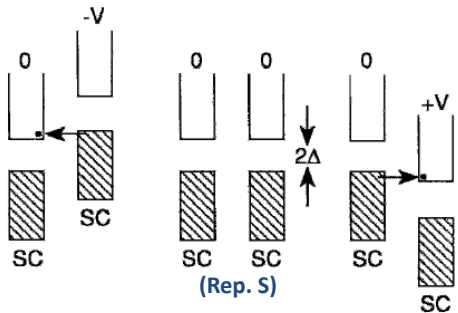


No hay tunelamiento en la región:

$$-\Delta/e < V < \Delta/e.$$

Tunelamiento, efecto Josephson

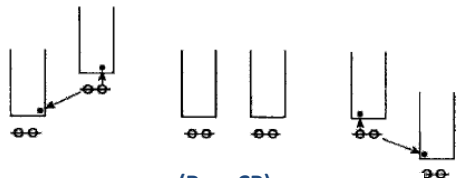
Procesos de tunelamiento: Superconductor–Superconductor (SC–I–SC)



$$V < -2\Delta/e$$

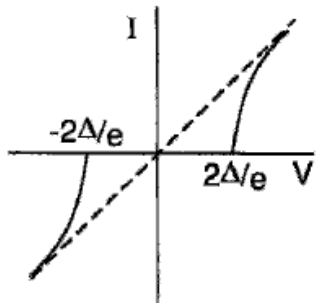
$$V = 0$$

$$V > 2\Delta/e$$



(Rep. CB)

Tunelamiento a $T=0$



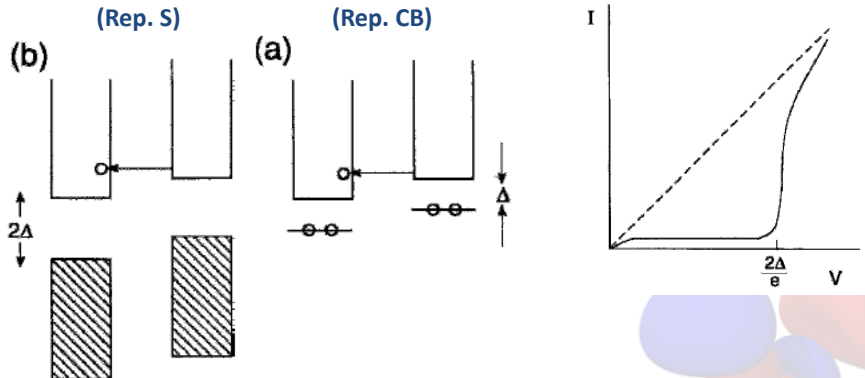
No hay tunelamiento en la región:

$$-2\Delta/e < V < 2\Delta/e.$$

Tunelamiento, efecto Josephson

Procesos de tunelamiento: Superconductor–Superconductor (SC–I–SC)

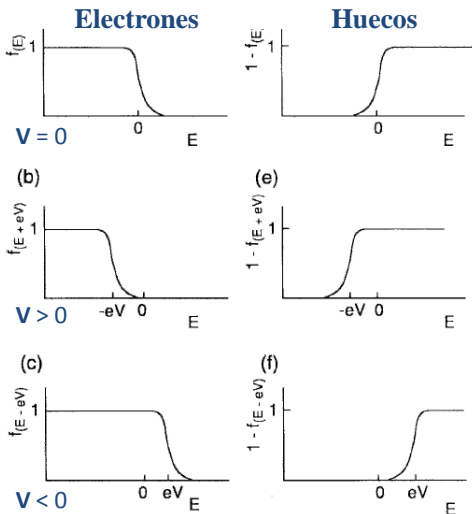
Tunelamiento a $T > 0$



Existe un tunelamiento **finito** en $V < 2\Delta/e$ debido a excitaciones térmicas de las cuasi-partículas más energéticas.

Tunelamiento, efecto Josephson

Tratamiento cuantitativo: función de distribución Fermi-Dirac ($T > 0$)



Electrones bajo un potencial aplicado V ,

$$f(E + eV) = \frac{1}{1 + \exp [(E + eV)/k_B T]}$$

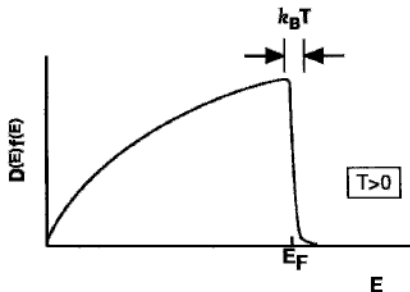
Huecos (estados desocupados) bajo un potencial aplicado V ,

$$1 - f(E + eV) = \frac{1}{1 + \exp [-(E + eV)/k_B T]}$$

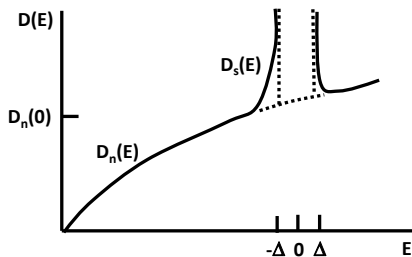
Tunelamiento, efecto Josephson

Tratamiento cuantitativo: densidad de estados (DOS)

DOS metal normal



DOS estado superconductor



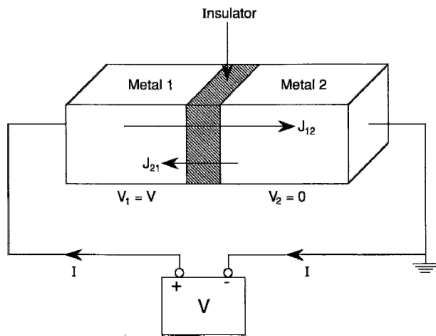
$$D_n(E) = D_n(0) \left(\frac{E_F + E}{E_F} \right)^{1/2}, \quad D_s(E) = \begin{cases} \frac{D_n(0)|E|}{(E^2 - \Delta^2)^{1/2}} & E < -\Delta \\ 0 & -\Delta < E < \Delta \\ \frac{D_n(0)|E|}{(E^2 - \Delta^2)^{1/2}} & E > \Delta \end{cases}$$

considerando que $|E| \ll E_F$,

$$D_n(E) \approx D_n(0)$$

Tunelamiento, efecto Josephson

Tratamiento cuantitativo: corriente de tunelamiento



Num. de estados iniciales **ocupados**,

$$N_2(E)f(E),$$

Num. de estados finales **desocupados** (vacíos),

$$N_1(E + eV) [1 - f(E + eV)]$$

Para calcular $J = J_{1 \rightarrow 2} - J_{2 \rightarrow 1}$, primero obtenemos:

$$J_{1 \rightarrow 2} = A|T|^2 \int_{-\infty}^{\infty} N_1(E + eV) [1 - f(E + eV)] N_2(E) f(E) dE,$$

$$J_{2 \rightarrow 1} = A|T|^2 \int_{-\infty}^{\infty} N_1(E + eV) f(E + eV) N_2(E) [1 - f(E)] dE,$$

$$\therefore J = A|T|^2 \int_{-\infty}^{\infty} N_1(E + eV) N_2(E) [f(E) - f(E + eV)] dE.$$

Tunelamiento, efecto Josephson

Tratamiento cuantitativo: corriente de tunelamiento N-I-N

De la expresión anterior para la corriente total J , redefinimos la escala de energía: $E + eV \rightarrow E$

$$J = A|T|^2 \int_{-\infty}^{\infty} N_1(E + eV) N_2(E) [f(E) - f(E + eV)] dE$$

$$\Rightarrow J = A|T|^2 \int_{-\infty}^{\infty} N_1(E) N_2(E - eV) [f(E - eV) - f(E)] dE$$

En el caso de una unión N-I-N, podemos aproximar la densidad de estados a su valor al nivel de Fermi:

$$N_1(E) \approx N_1(0) \quad \& \quad N_2(E - eV) \approx N_2(0),$$

por tanto,

$$J_{NN} = A|T|^2 N_{1N}(0) N_{2N}(0) \int_{-\infty}^{\infty} [f(E - eV) - f(E)] dE$$

$$J_{NN} = A|T|^2 N_{1N}(0) N_{2N}(0) eV = G_{nn} V,$$

en donde G_{nn} es la **conductancia de tunelaje** en una unión N-I-N

Tunelamiento, efecto Josephson

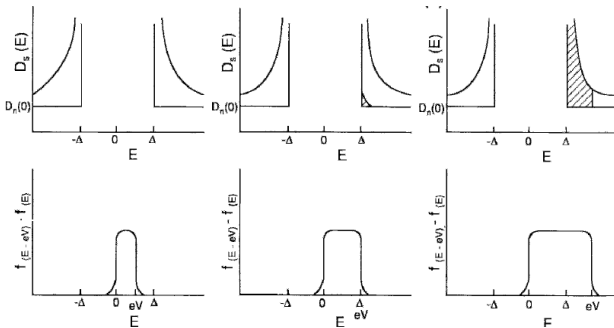
Tratamiento cuantitativo: corriente de tunelamiento N-I-S

Para una unión N-I-S la expresión de la corriente queda como,

$$J = A|T|^2 \int_{-\infty}^{\infty} N_{1SC}(E) N_{2N}(E - eV) [f(E - eV) - f(E)] dE$$

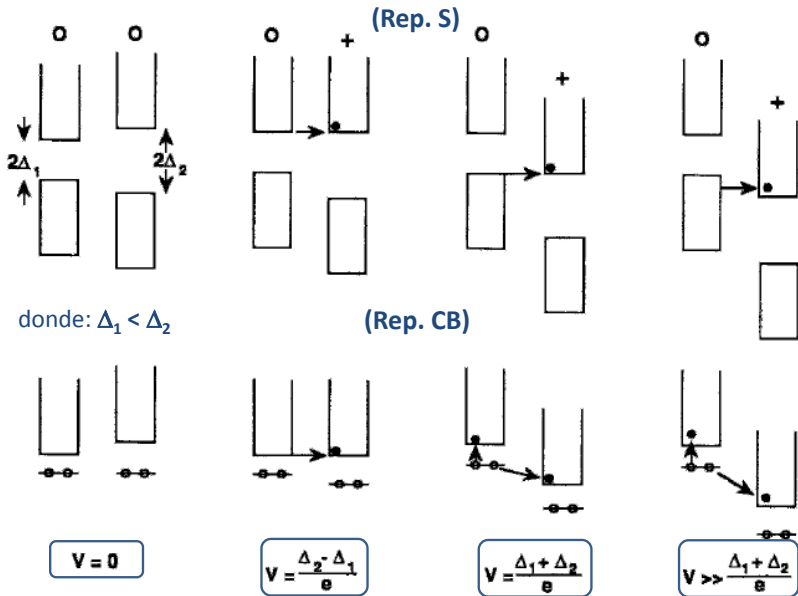
$$\Rightarrow J = A|T|^2 N_{2N}(0) \int_{-\infty}^{\infty} N_{1SC}(E) [f(E - eV) - f(E)] dE$$

$$\therefore J = \frac{G}{e} \int_{-\infty}^{\infty} \frac{N_{1SC}(E)}{N_{1N}(0)} [f(E - eV) - f(E)] dE.$$



Tunelamiento, efecto Josephson

Tratamiento cuantitativo: corriente de tunelamiento S-I-S



Tunelamiento, efecto Josephson

Tratamiento cuantitativo: corriente de tunelamiento S-I-S

$$J_{2S \rightarrow 1S} = A|T|^2 \int_{-\infty}^{\infty} \{N_{1S}(E)f(E)N_{2S}(E + eV) \times [1 - f(E + eV)]\} dE,$$

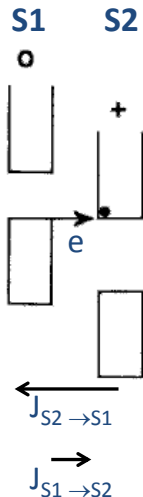
$$J_{1S \rightarrow 2S} = A|T|^2 \int_{-\infty}^{\infty} \{N_{1S}(E) [1 - f(E)] \times N_{2S}(E + eV)f(E + eV)\} dE,$$

$$J_{SS} = A|T|^2 \int_{-\infty}^{\infty} \{N_{1S}(E)N_{2S}(E + eV) \times [f(E) - f(E + eV)]\} dE,$$

$$J_{SS} = \frac{G_{nn}}{e} \int_{-\infty}^{\infty} \left\{ \frac{N_{1S}(E)}{N_{1N}(0)} \frac{N_{2S}(E + eV)}{N_{2N}(0)} \times [f(E) - f(E + eV)] \right\} dE,$$

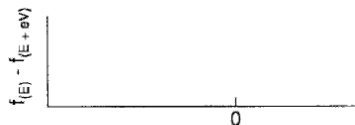
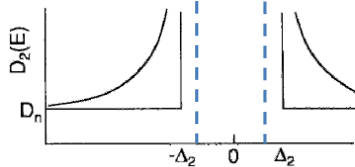
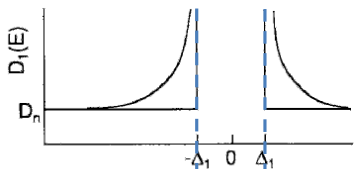
en donde,

$$J_{SS} = J_{2S \rightarrow 1S} - J_{1S \rightarrow 2S}.$$

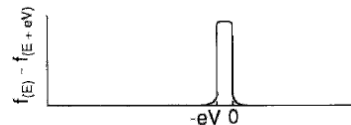
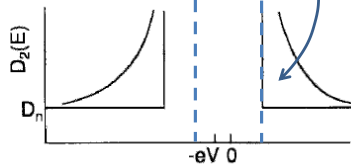
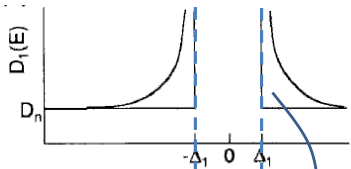


Tunelamiento, efecto Josephson

Tratamiento cuantitativo: corriente de tunelamiento S-I-S



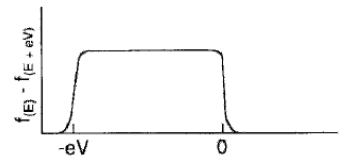
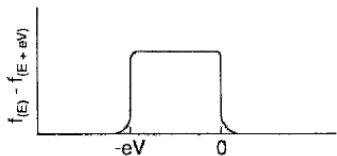
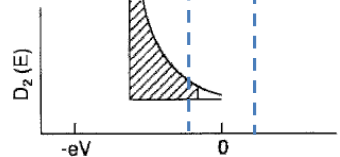
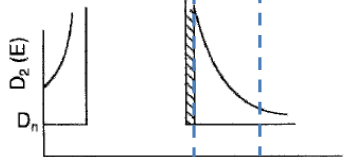
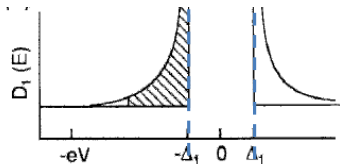
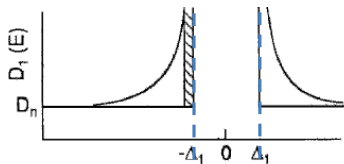
$$V = 0$$



$$V = -\frac{\Delta_2 - \Delta_1}{e}$$

Tunelamiento, efecto Josephson

Tratamiento cuantitativo: corriente de tunelamiento S-I-S

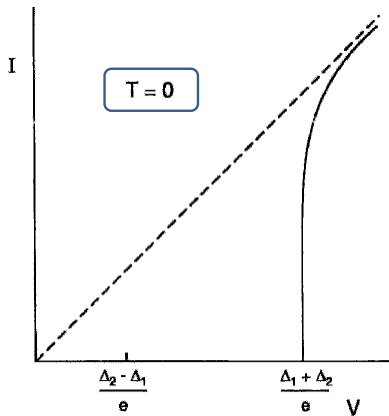
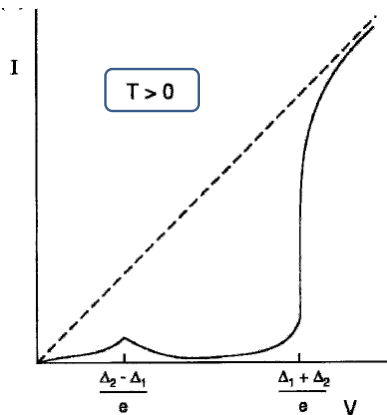


$$V \sim -\frac{\Delta_1 + \Delta_2}{e}$$

$$V \ll -\frac{\Delta_1 + \Delta_2}{e}$$

Tunelamiento, efecto Josephson

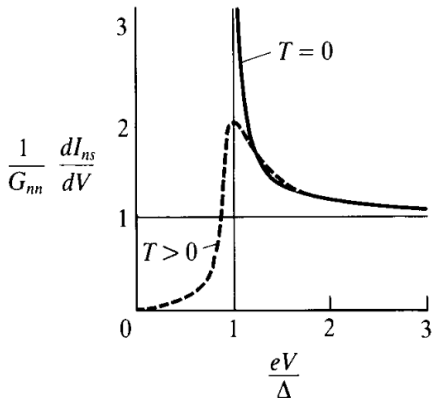
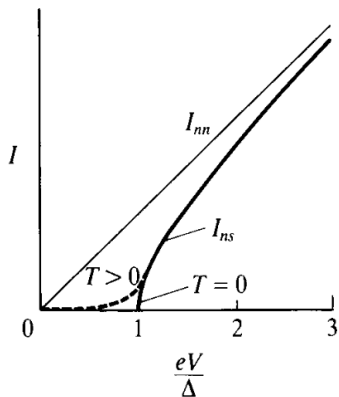
Tratamiento cuantitativo: corriente de tunelamiento S-I-S



Tunelamiento, efecto Josephson

Mediciones de tunelamiento

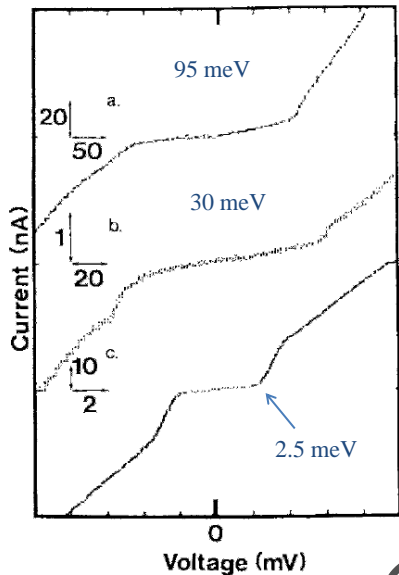
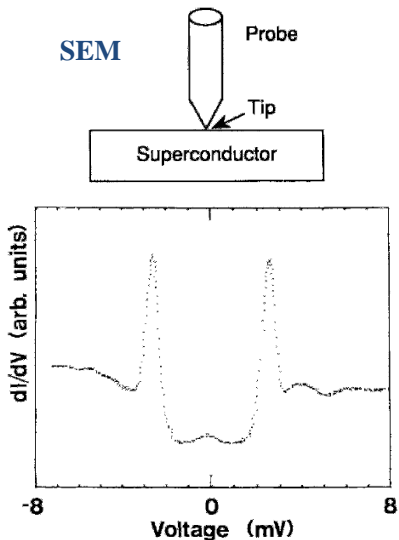
Normalmente se reportan datos de **corriente** vs **voltaje**, o **variaciones de corriente** vs **voltaje** aplicado,



Tunelamiento, efecto Josephson

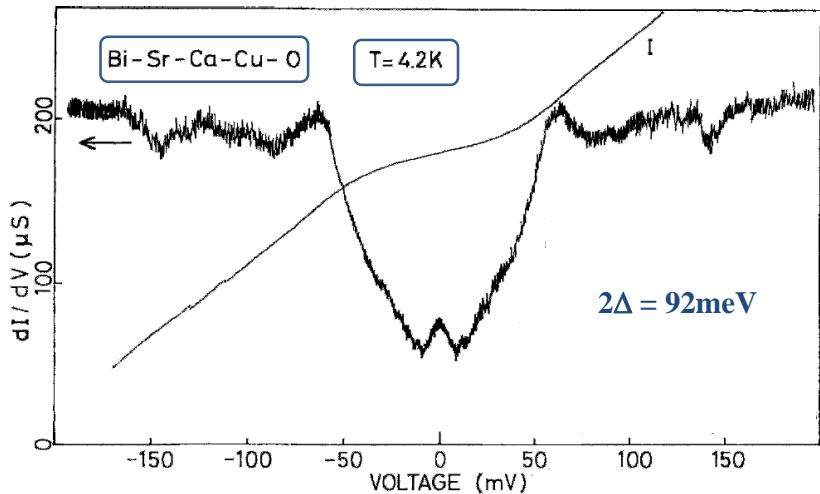
Mediciones de tunelamiento: N-I-S

$\text{YBa}_2\text{Cu}_3\text{O}_{6.5+x}$ @ 4.2K



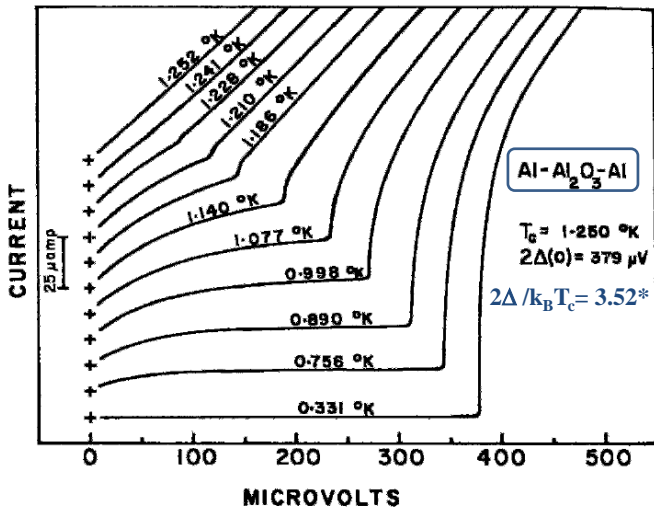
Tunelamiento, efecto Josephson

Mediciones de tunelamiento: N-I-S



Tunelamiento, efecto Josephson

Mediciones de tunelamiento: S-I-S



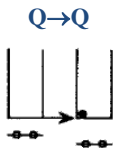
*Valor de referencia BCS: $(2\Delta/K_B T_c)_{\text{BCS}} = 3.53$.

Tunelamiento, efecto Josephson

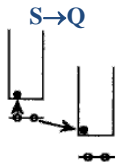
Efecto Josephson: tunelamiento S-I-S



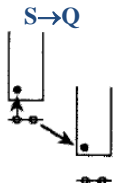
$$V = 0$$



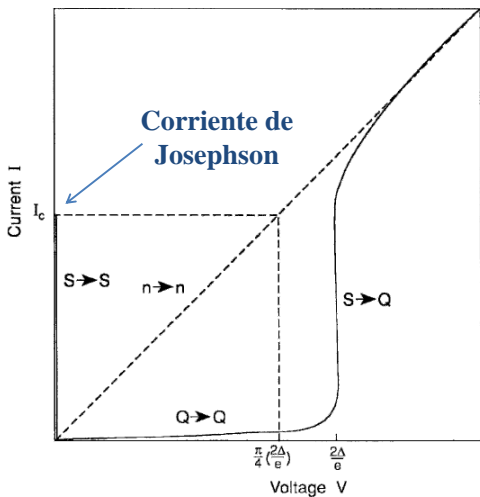
$$V = \frac{\Delta_2 - \Delta_1}{e}$$



$$V = \frac{\Delta_1 + \Delta_2}{e}$$



$$V \gg \frac{\Delta_1 + \Delta_2}{e}$$



Tunelamiento, efecto Josephson

Efecto Josephson: modelos de tunelamiento de pares de Cooper

1. **Efecto Josephson dc**: flujo de corriente dc,

$$J = J_0 \text{Sen} \delta$$

a través de la unión en ausencia de campo (eléctrico o magnético) aplicado.

2. **Efecto Josephson ac**: flujo de una corriente sinusoidal,

$$J = J_0 \text{Sen} [\delta - 4\pi e V t / h],$$

con un voltaje aplicado V y frecuencia de oscilación $\nu = 2eV/h$.

3. **Efecto Josephson ac inverso**: el voltaje V es inducido en una unión mediante radiación incidente o por una corriente de radio-frecuencia (rf).
4. **Efectos cuánticos de interferencia macroscópicos**: involucran una corriente de tunelamiento J con términos oscilatorios dependientes de un flujo de campo aplicado $\text{Sen} (\pi\phi/\phi_0)$.

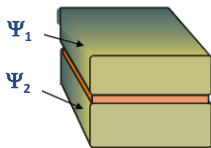
Tunelamiento, efecto Josephson

Efecto Josephson dc

Si el grosor de la barrera es lo suficientemente grande, entonces podemos considerar,

$$i\hbar \frac{d\Psi_1}{dt} = E_1 \Psi_1, \quad i\hbar \frac{d\Psi_2}{dt} = E_2 \Psi_2,$$

donde Ψ_i y E_i representan la función de onda y la energía del estado base de los SC a cada lado de la barrera.



En el caso de que la barrera permita una interacción entre los SC:

$$i\hbar \frac{d\Psi_1}{dt} = E_1 \Psi_1 + K \Psi_2, \quad i\hbar \frac{d\Psi_2}{dt} = E_2 \Psi_2 + K \Psi_1,$$

en donde $K \in \mathbb{R}$ describe el acoplamiento entre SC's.

Asumiendo que existe un potencial V aplicado a través del sistema,

$$\Rightarrow E_1 - E_2 = 2eV,$$

en donde define el cero de energía es el punto intermedio: $E_1 = eV$,
 $E_2 = -eV$.

Tunelamiento, efecto Josephson

Efecto Josephson dc

Sustituyendo lo anterior en las ecuaciones de onda para cada SC:

$$i\hbar \frac{d\Psi_1}{dt} = E_1 \Psi_1 + K \Psi_2 \quad \rightarrow \quad i\hbar \frac{d\Psi_1}{dt} = eV \Psi_1 + K \Psi_2$$

$$i\hbar \frac{d\Psi_2}{dt} = E_2 \Psi_2 + K \Psi_1 \quad \rightarrow \quad i\hbar \frac{d\Psi_2}{dt} = -eV \Psi_2 + K \Psi_1$$

proponiendo,

$$\Psi_1 = |\Psi_1| e^{i\theta_1}, \quad \Psi_2 = |\Psi_2| e^{i\theta_2}, \quad \forall \phi = \theta_2 - \theta_1.$$

Sustituyendo las soluciones propuestas en las ecuaciones y relacionando los términos reales e imaginarios,

$$\hbar \frac{d|\Psi_1|^2}{dt} = 2K |\Psi_1| |\Psi_2| \text{Sen} \phi, \quad \hbar \frac{d\theta_1}{dt} = -K \frac{|\Psi_2|}{|\Psi_1|} \text{Cos} \phi - eV,$$

$$\hbar \frac{d|\Psi_2|^2}{dt} = -2K |\Psi_1| |\Psi_2| \text{Sen} \phi, \quad \hbar \frac{d\theta_2}{dt} = -K \frac{|\Psi_2|}{|\Psi_1|} \text{Cos} \phi + eV,$$

recordando que: $|\Psi_1|^2 = N_{1S}$ y $|\Psi_2|^2 = N_{2S}$.

Tunelamiento, efecto Josephson

Efecto Josephson dc

Además, se tiene:

$$J_1 = e \frac{dN_{1S}}{dt}, \quad J_2 = e \frac{dN_{2S}}{dt},$$

por tanto, de las ecuaciones anteriores tenemos:

$$J_1 = \frac{2Ke}{\hbar} (N_{1S}N_{2S})^{1/2} \text{Sen}\phi, \quad J_2 = -\frac{2Ke}{\hbar} (N_{1S}N_{2S})^{1/2} \text{Sen}\phi.$$

Relacionado ahora las ecuaciones de las fases,

$$\frac{d\phi}{dt} = \frac{2eV}{\hbar} = \frac{V}{\Phi_0} \quad \forall \quad \Phi_0 = \frac{\hbar}{2e} = \text{cuanto de flujo.}$$

Finalmente, para la **densidad de corriente**,

$$J = J_1 - J_2 = J_c \text{Sen}\phi \quad \forall \quad J_c = \frac{4Ke}{\hbar} (N_{1S}N_{2S})^{1/2},$$

de donde se obtiene la **corriente total**,

$$I = I_c \text{Sen}\phi \quad \forall \quad I = AJ.$$

Tunelamiento, efecto Josephson

Efecto Josephson dc

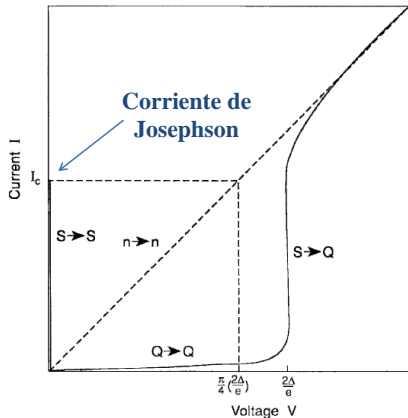
Para el caso de tunelamiento de pares de Cooper entre dos SC **idénticos**, con gaps $\Delta(T)$, la **corriente crítica** está dada por:

$$I_c(T) = \frac{\pi G_{nn}}{4} \left[\frac{2\Delta(T)}{e} \right] \text{Tanh} \frac{\Delta(T)}{2k_B T},$$

con los diferentes límites,

$$T \approx 0: I_c(0) = \frac{1}{4} \pi G_{nn} \left[\frac{2\Delta(0)}{e} \right],$$

$$T \approx T_c: I_c(T_c) = \frac{1}{4} \pi G_{nn} \left[\frac{\Delta^2(T)}{ek_B T_c} \right].$$



Por tanto, la **corriente máxima** ocurre para $T = 0$ con $\phi = \pi/2$, siendo $\pi/4 \approx 80\%$ del voltaje del gap: $V = 2\Delta/e$.

Tunelamiento, efecto Josephson

Efecto Josephson ac

Del **efecto Josephson dc** se observó que I_c se genera debido a una diferencia de fase.

Por tanto analizando ésta,

$$\frac{d\phi}{dt} = \frac{2eV}{\hbar} = \frac{V}{\Phi_0} \quad \forall \quad \Phi_0 = \frac{\hbar}{2e},$$

resolviendo la ec. diferencial anterior tenemos,

$$\phi(t) = \phi_0 + \frac{2eV}{\hbar}t = \phi_0 + \frac{V}{\Phi_0}t$$

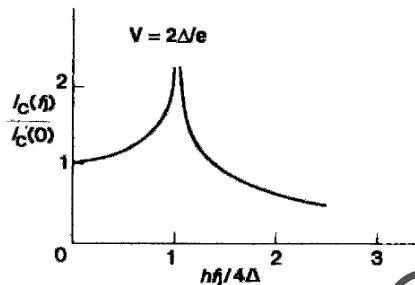
en donde se define la **frecuencia de Josephson**,

$$\nu_J = \frac{2eV}{\hbar} = \frac{V}{\Phi_0} = 483.6 \times 10^{12} V \text{ Hz.}$$

Finalmente, la corriente total ac vendrá dada como,

$$J = J_c \text{Sen}\phi = J_c \text{Sen}(\omega_J t + \phi_0),$$

con $\omega_J = 2\pi\nu_J$.



1. Superconductividad

1.1 Propiedades fundamentales y descripción fenomenológica

1.2 Tunelamiento, efecto Josephson

1.3 Clasificación de materiales superconductores



Clasificación de materiales superconductores

El inicio: elementos superconductores

KNOWN SUPERCONDUCTIVE ELEMENTS

■ BLUE = AT AMBIENT PRESSURE
■ GREEN = ONLY UNDER HIGH PRESSURE

1	IA																										0							
1	H	IIA																										2	He					
2	3	4																	5	6	7	8	9	10										
	Li	Be																	B	C	N	O	F	Ne										
3	11	12																	13	14	15	16	17	18										
	Na	Mg																	Al	Si	P	S	Cl	Ar										
4	19	20	21	22	23	24	25	26	27	28	29	30	31	32	33	34	35	36																
	K	Ca	Sc	Ti	V	Cr	Mn	Fe	Co	Ni	Cu	Zn	Ga	Ge	As	Se	Br	Kr																
5	37	38	39	40	41	42	43	44	45	46	47	48	49	50	51	52	53	54																
	Rb	Sr	Y	Zr	Nb	Mo	Tc	Ru	Rh	Pd	Ag	Cd	In	Sn	Sb	Te	I	Xe																
6	55	56	57	72	73	74	75	76	77	78	79	80	81	82	83	84	85	86																
	Cs	Ba	*La	Hf	Ta	W	Re	Os	Ir	Pt	Au	Hg	Tl	Pb	Bi	Po	At	Rn																
7	87	88	89	104	105	106	107	108	109	110	111	112																						
	Fr	Ra	+Ac	Rf	Ha	106	107	108	109	110	111	112																						

SUPERCONDUCTORS.ORG

* Lanthanide Series

58	59	60	61	62	63	64	65	66	67	68	69	70	71
Ce	Pr	Nd	Pm	Sm	Eu	Gd	Tb	Dy	Ho	Er	Tm	Yb	Lu

+ Actinide Series

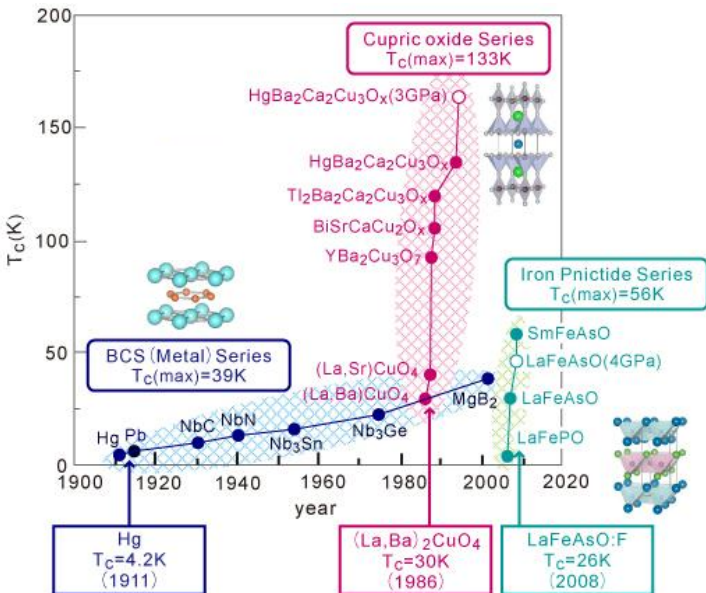
90	91	92	93	94	95	96	97	98	99	100	101	102	103
Th	Pa	U	Np	Pu	Am	Cm	Bk	Cf	Es	Fm	Md	No	Lr

Nb: posee la T_c más **alta** entre los elementos superconductores.

Elemento	T_c (K)
Pt	0.0019
Ti	0.39
Zr	0.65
Mo	0.92
Al	1.19
Th	1.37
Pa	1.40
In	3.40
Sn	3.72
Hg	4.15
Ta	4.48
V	5.30
La	6.06
Pb	7.19
Tc	7.77
Nb	9.25

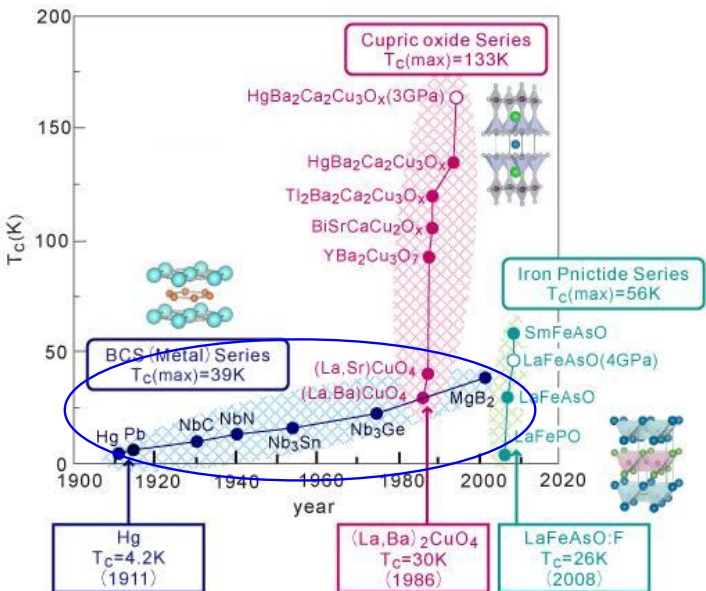
Clasificación de materiales superconductores

Evolución temporal de los materiales superconductores



Clasificación de materiales superconductores

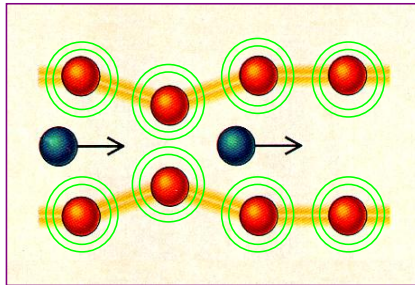
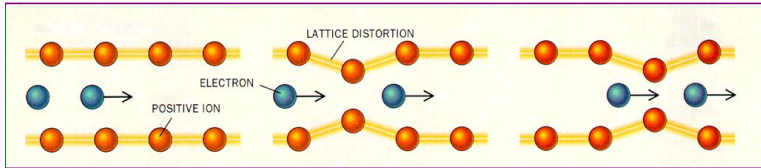
Superconductores convencionales (BCS)



Clasificación de materiales superconductores

Superconductores convencionales (BCS): mecanismo

Interacción electrón–fonón



dando lugar al **par de Cooper**, parte fundamental de la teoría BCS.

Clasificación de materiales superconductores

Superconductores convencionales (BCS): MgB_2

Superconductivity at 39 K in magnesium diboride

Jun Nagamatsu*, Norimasa Nakagawa*, Takahiro Muranaka*,
Yuji Zenitani* & Jun Akimitsu*†

* Department of Physics, Aoyama-Gakuin University, Chitosedai, Setagaya-ku,
Tokyo 157-8572, Japan

† CREST, Japan Science and Technology Corporation, Kawaguchi, Saitama 332-
0012, Japan

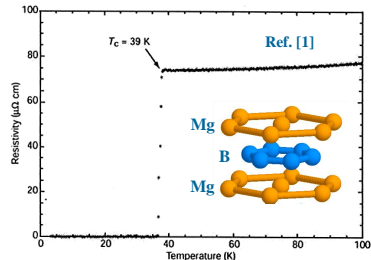
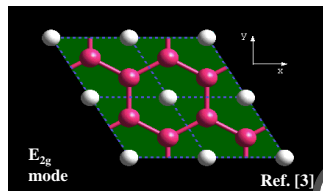
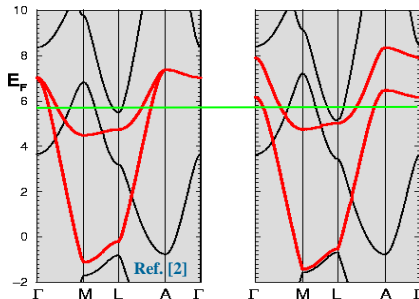


Figure 4 Temperature dependence of the resistivity of MgB_2 under zero magnetic field.

- (1) J. Nagamatsu *et al.*, Nature **40**, 63 (2001).
- (2) J. Kortus *et al.*, Phys. Rev. Lett. **86**, 4656 (2001).
- (3) T. Yildirim *et al.*, Phys. Rev. Lett. **87**, 37001 (2001).

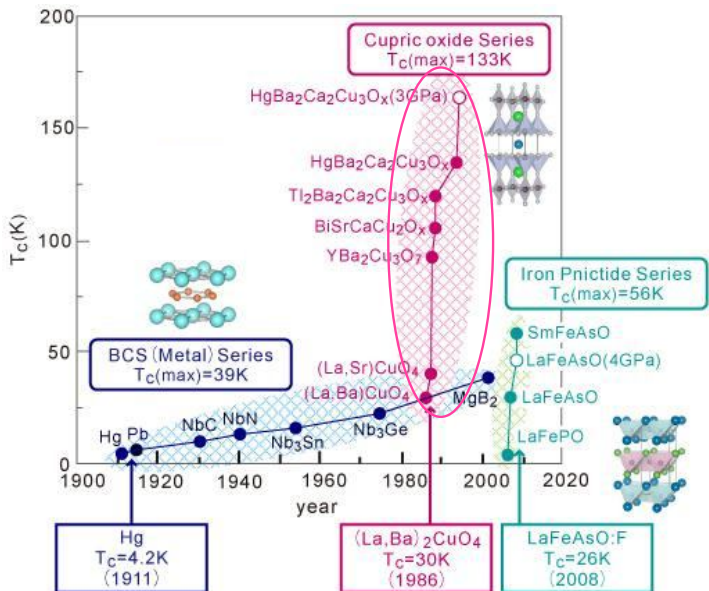
Acoplamiento de la banda σ con el modo fonónico E_{2g}



Ref. [3]

Clasificación de materiales superconductores

Superconductores no-conventionales: de alta temperatura crítica (HTC's)

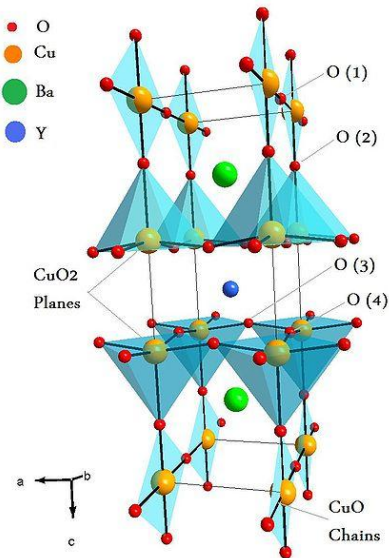


Clasificación de materiales superconductores

Superconductores no-convencionales: de alta temperatura crítica (HTC's)

Superconductores de alta temperatura crítica (HTC)

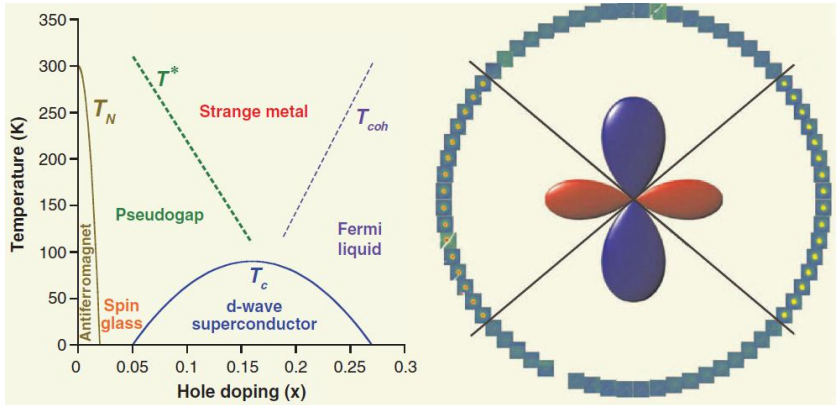
- $\text{YBa}_2\text{Cu}_3\text{O}_{7-x}$: $T_c > 90\text{K}$ (punto de ebullición del N: 77K)
- Sistemas cerámicos (óxidos magnéticos asilantes) en estado normal.
- Apareamiento de d -waves como mecanismo de origen (BCS: apareamiento de s -waves).
- SC anisotrópica: pares de Cooper localizados en los planos de CuO_2 .



Clasificación de materiales superconductores

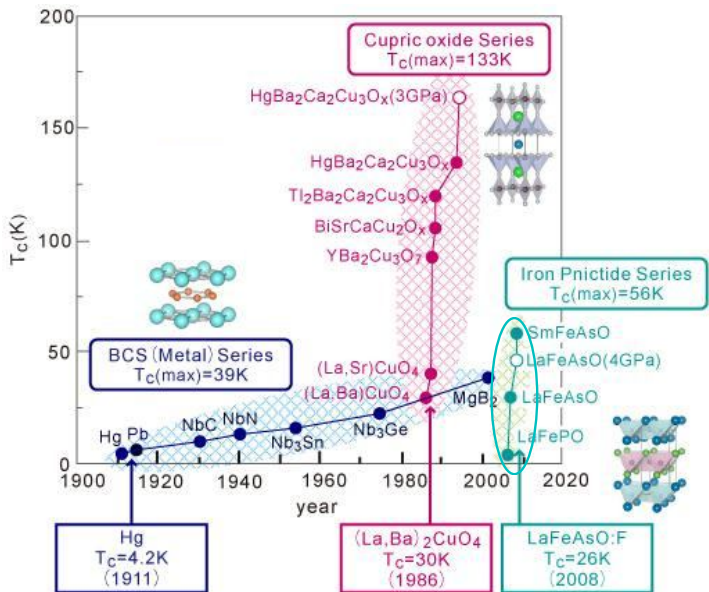
Superconductores no-convencionales: de alta temperatura crítica (HTC's)

Diagrama de fase de un HTC



Clasificación de materiales superconductores

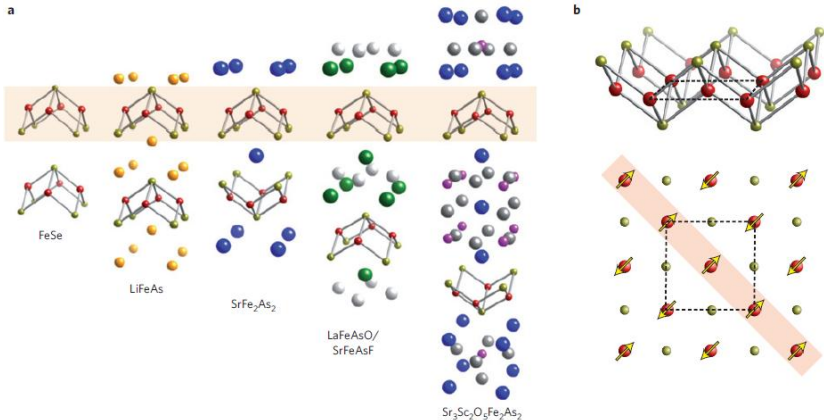
Superconductores no-conventionales: pnictides



Clasificación de materiales superconductores

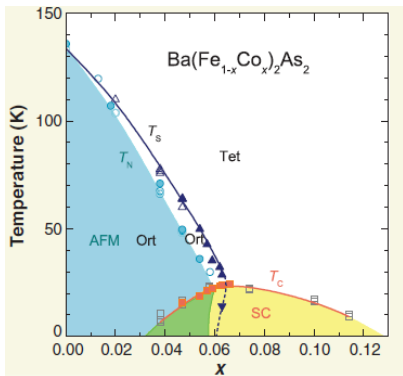
Superconductores no convencionales: pnictides

Superconductores no convencionales con átomos de Fe



Clasificación de materiales superconductores

Superconductores no-conventionales: pnictides



SC en base Fe: pnictides

- Máxima T_c obtenida en estos sistemas: 56K.
- Sistemas metálicos y magnéticos en estado normal.
- SC anisotrópica: p. de Cooper loc. en los planos de FeAs.
- Mezcla del parámetro de orden: d -waves y s_{\pm} .

